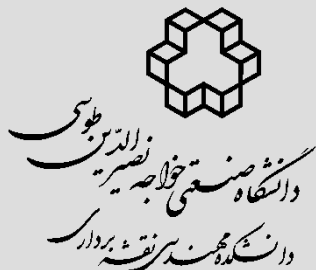


نشریه علمی مهندسی فناوری اطلاعات مکانی



سال نهم، شماره نخست، بهار ۱۴۰۰

Vol.9, No.1, Spring 2021

۱-۱۹

مقاله پژوهشی

DOR: [20.1001.1.20089635.1400.9.1.4.1](https://doi.org/10.1001.1.20089635.1400.9.1.4.1)

بررسی بهبود مکان‌مرجع‌سازی نقشه‌های غیر رقومی شهری با استفاده از المان‌های هندسی و الگوریتم ژنتیک

هانی رضائیان^{۱*}، ناصر پوراحمد^۲، جواد سدیدی^۳

۱- استادیار گروه سنجش از دور و سیستم‌های اطلاعات جغرافیایی، دانشکده علوم خوارزمی، تهران، ایران

۲- کارشناس ارشد گروه سنجش از دور و سیستم‌های اطلاعات جغرافیایی، دانشکده علوم خوارزمی، تهران، ایران

۳- استادیار گروه سنجش از دور و سیستم‌های اطلاعات جغرافیایی، دانشکده علوم خوارزمی، تهران، ایران

تاریخ دریافت مقاله: ۱۳۹۸/۰۸/۲۲ تاریخ پذیرش مقاله: ۱۴۰۰/۰۲/۱۵

چکیده

بخش زیادی از اسناد ملکی در قالب نقشه‌های آنالوگ غیررقومی موجود می‌باشند که نیازمند مکان‌مرجع‌سازی هستند. الگوریتم مورد استفاده در مکان‌مرجع‌سازی در دقت محاسبات المان‌های هندسی نقش بسزایی ایفا می‌کند که این امر به ضرورت مطالعه روش‌های مکان‌مرجع‌سازی نوین اشاره دارد. این کار نیازمند بکارگیری توابع و مدل‌های بهینه‌سازی مکان‌مرجع‌سازی می‌باشد تا دقت لازمه در تعیین حدود املاک حاصل شود. به دلیل عدم امکان تعبیر هندسی، برای همه تصاویر نمی‌توان پارامترهای تابع افاین را مقادیر ثابتی قرار داد. لذا در این تحقیق با لحاظ نمودن المان‌های هندسی نقشه‌های کاداستری شامل مساحت قطعات زمین، طول خطوط تشکیل‌دهنده آنها و با بهره‌گیری از الگوریتم ژنتیک، اقدام به تولید پارامترهای بهینه برای تابع افاین شده است. جهت مطالعه روش پیشنهادی از دو نقشه ثبتی اسکن شده مربوط به بخشی از شهر تهران به عنوان داده ورودی و همچنین نقاط کنترل برداشت شده با استفاده از GPS استفاده شده است. بمنظور محاسبه دقت و حساسیت روش مزبور، مقایسه‌هایی از جمله RMSE بدون اعمال المان‌های هندسی، با اعمال یکی از المان‌های هندسی سطح و طول و RMSE با در نظر گرفتن کلیه المان‌های هندسی صورت گرفته است. نتایج تحقیق نشان داده است که روش پیشنهادی این تحقیق با RMSE متوسط برابر ۲۰۵/۲۰۵ متر، نسبت به روش مرسوم با RMSE متوسط برابر ۲۷۵/۴۱ متر برای نقشه‌های مورد استفاده، از دقت کلی پایین‌تری برخوردار است. این در حالی است که در روش پیشنهادی خطای المان‌های هندسی سطح و طول حدود ۴۰ درصد نسبت به روش مرسوم کاهش یافته است که در کاربری‌های مرتبط بهبود قابل توجهی محسوب می‌گردد.

کلید واژه‌ها : مکان‌مرجع‌سازی، نقشه‌های آنالوگ، کاداستر، الگوریتم ژنتیک، المان‌های هندسی.

* نویسنده مکاتبه کننده: تهران، خ. مفتح، بعد از سمیه، دانشگاه خوارزمی، دانشکده علوم جغرافیایی.

تلفن: ۰۲۱-۸۶۰۷۰۷۸۶

۱- مقدمه

شده این نقشه‌ها به فضای زمین داریم. انجام این کار مستلزم بکارگیری توابع و مدل‌های بهینه‌سازی مکان‌مرجع‌سازی می‌باشد تا بتوان بیشترین دقیق را در تعیین حدود املاک اعمال کرد.

خطاهای مکانی عوارض یکی از مسائل کلیدی در سیستم‌های اطلاعات جغرافیایی می‌باشد. در طول دو دهه گذشته، توجه زیادی به مدل‌سازی خطاهای مکانی در عوارض خطی، شامل بخش‌های مختلف خطوط، پلی‌لاین‌ها و پلی‌گون‌ها در سیستم‌های اطلاعات جغرافیایی^۱ شده است [۱۶].

بخش زیادی از استناد ملکی در قالب نقشه‌های آنالوگ غیررقومی موجود می‌باشند که نیازمند مکان‌مرجع‌سازی هستند. به علت قیمت بالای املاک شهری همواره سعی بر آن است که مکان‌مرجع‌سازی این نقشه‌ها با دقت مناسب و کمترین مغایرت با املاک همسایه و استناد مرتبط با ملک انجام گیرد. روش‌های مکان‌مرجع‌سازی موجود که مبتنی بر انطباق نقاط کنترل می‌باشد اغلب باعث ایجاد مغایرت در مقدار المان‌های مهم از جمله مساحت، ابعاد و شکل عوارض می‌گردد که در زمرة المان‌های مهم در مدیریت املاک هستند. وجود این مغایرت‌ها در تهیه نقشه‌های ثبتی شهری با مقیاس‌های بزرگ غیر قابل قبول می‌باشد. براین اساس و برای به حداقل رساندن این مغایرت‌ها، طراحی یک الگوریتم منعطف، کارآمد و تا حد امکان خودکار که بتواند این مغایرت‌ها را در شرایط مختلف به حداقل برساند، نیاز می‌باشد.

مکان‌مرجع‌سازی نیازمند در اختیار داشتن تعداد کافی از نقاط کنترل قابل اعتماد و همچنین دارای توزیع فضایی مناسب بر روی نقشه آنالوگ و نقشه مرجع است. علاوه بر این، اعوجاجات بوجود آمده در نقشه‌های ثبتی آنالوگ، سبب کاهش اثر نقاط کنترل و بالطبع کاهش کیفیت خروجی حاصل از فرآیند

یکی از وظایف اصلی سازمان ثبت اسناد و املاک کشور تسلط کامل بر ابعاد حقوقی و موقعیتی (هندسی) املاک در کشور می‌باشد. سازمان ثبت اسناد و املاک به نظامی نیازمند است که اطلاعات موقعیتی جامع از محدوده املاک، همراه با وضعیت حقوقی املاک در اختیار داشته باشد [۱۱]. طرح کadaستره کشور در سال ۱۳۷۰ با هدف کمک به ایجاد یک ثبت املاک پیشرفته و مکانیزه که قادر به پاسخگویی سریع به ارباب رجوع و حل مشکلات آنان باشد، کار خود را آغاز کرد. بدین ترتیب تهیه نقشه‌های کاداستر مقیاس ۱:۵۰۰ در دستور کار قرار گرفت [۱۹].

استناد مالکیت قدیمی اغلب فاقد مشخصات فنی ملک مانند مساحت و طول ابعاد بوده و حدود املاک به صورت اجمالی مثلاً به ملک مجاور، به آبریز کوه به رودخانه، مرز یا نهر یا راه روتایی تعریف شده است که ممکن است این عوارض به مرور زمان و در نتیجه تحولات طبیعی و یا توسط اشخاص، تغییر یافته یا جابجا شوند. حتی در موارد دیگر که مساحت و حدود املاک در استناد مالکیت قید شده، در نتیجه اشتباہ در پیاده کردن ملک، جابه‌جایی و یا لغزش بوجود می‌آید و در واقع ملک در محل حقیقی خود پیاده نمی‌شود و عموماً املاک مجاور هم به تبعیت از حقوق آن مالک به صورت جابجا پیاده و تصرف شده و مبنای اختلافات عدیده و پرونده‌های قضایی بی شمار می‌شود. راهکار رفع این مشکلات، اجرای دقیق عملیات کاداستر در سطح کشوری است. از جمله کاربردهای مهم رایانه در حال حاضر، مدیریت داده‌های مربوط به مالکیت اراضی و ارائه خدمات بهینه به متاقاضیان می‌باشد. بخش اعظم روند تولید و شناخت حدود املاک به روش فتوگرامتری شامل جمع‌آوری اطلاعات، ویرایش و اضافه کردن اطلاعات توصیفی از نقشه‌های قدیمی می‌باشد [۵]. امروزه با در اختیار داشتن نقشه‌های کاداستر قدیمی قادر هستیم اطلاعات مکانی دقیقی از آنها استخراج کنیم. بنابراین نیاز به تبدیل از فضای تصویر و اسکن

^۱ Geographic Information System - GIS

اعوجاجات نسبی بین مرزها و محتوا لازم است تا محتويات نقشه با روش رابرشیتینگ^۳ بر پایه درون یابی خطی^۴ اصلاح گرددند (۳/۳). این تحقیق روشنی جدید برای رابرشیتینگ ارائه کرده که وابسته به شکل چند ضلعی بسته نیست و صرفاً به تعداد نقاط کنترل انتخاب شده در نقشه وابسته است. فردکین^۵ و دویتشر (۲۰۰۲) نشان داده است که محاسبه مختصات نقاط مرزی کاداستر نمی تواند تنها بر روی اندازه گیری های اصلی و در مختصات شبکه کنترل فعلی تکیه کند، بلکه بازسازی تحلیلی مرز پارسل های شهری نیاز به ادغام اندازه گیری های جدید در فرآیند محاسبه دارد تا از دقت بدست آمده اطمینان حاصل شود (۶). گاویش^۶ و دویتشر^۷ (۲۰۰۲) روشی برای ایجاد یک کاداستر تحلیلی در مناطقی که اندازه گیری عوارض زمینی وجود نداشته باشد، ارائه نموده است (۷). این روش یک فرآیند «سفر مجازی در زمان»^۸ است که ترکیب دو نقشه واقعی در گذشته و حال را نشان می دهد. تانگ^۹ و همکاران (۲۰۰۵) از روش حداقل مربعات برای بازسازی مرز پارسل ها، مخصوصاً برای حل ناسازگاری بین مرز پارسل ها استفاده نموده اند (۱۶). بالتی (۲۰۰۶)، با توجه به توسعه و تغییرات مرز اراضی نقشه های قدیمی به بررسی مکان مرجع سازی با هدف امکان تحلیل عناصر زئومتریک در نقشه های قدیمی پرداخته است (۲). تی پودوبنیکار (۲۰۰۹) بررسی و ارزیابی کیفیت مکان مرجع سازی نقشه های قدیمی را

مکان مرجع سازی نقشه های آنالوگ ثبتی می شود. نتیجتاً موقعیت صحیح عوارض نقشه ها بر روی وضع موجود حاصل نمی شود و یا ابعاد و شکل عوارض دستخوش تغییر می گردد، بنابراین موجب تغییر المان های مهم از جمله مساحت و طول (محیط) عوارض می گردد که از نقطه نظر فرآیندهای ثبتی غیر قابل قبول است. این مقاله به بررسی میزان بهبود حاصل از افزودن المان های هندسی مساحت و طول در فرآیند مکان مرجع سازی نقشه های کاغذی ثبتی شهری در ایران با استفاده از الگوریتم ژنتیک پرداخته است. نتیجه حاصل از طراحی و ارزیابی روش مببور برای دو داده نمونه داده از شهر تهران نشان دهنده امکان بهبود خطای اندازه گیری مساحت و طول تا حدود ۴۰ درصد است. این در حالی است که خطای کلی حاصل از مکان مرجع سازی با خطای روش مرسوم مبتنی بر نقاط کنترل زمینی، اختلاف کمی را نشان می دهد.

۲- پیشینه تحقیق

باقری و همکاران (۱۳۹۳)، با استفاده از روش های هوش مصنوعی نظیر الگوریتم ژنتیک و شبکه های عصبی به مطالعه روش های مختلف مدل سازی اثر تعداد و توزیع نقاط کنترل در روش های مدل سازی به تصحیح هندسی تصاویر ماهواره ای پرداختند و نتایج بهتری را نسبت به روش های معمول به دست آورده اند (۱). دویتشر^۱ و گلбمن^۲ (۱۹۹۵) الگوریتمی برای اصلاح اعوجاجاتی که در جریان مکان مرجع سازی در مرزها اتفاق می افتد ارائه نموده اند. آن ها نشان داده اند که این فرآیند برای ایجاد کاداستر و تبدیل تمام بلوك های نقشه بزرگ مقیاس در کشور ایرلند با نتایج حاصل از داده های آماری مرز بلوك ها با دقت خوبی برای زمین های کشاورزی قابل استفاده می باشد (۴). دویتشر (۲۰۰۰) نشان داده است که برای جلوگیری از

^۳ Rubber Sheeting

^۴ Linear Interpolation

^۵ Fradkin

^۶ Gavish

^۷ Doystsher

^۸ Virtual Time Travel

^۹ Tong

^۱ Doytsher

^۲ Gelbman

نقشه‌های کاداستری به سیستم مختصات ملی ترکیه، پس از ارزیابی وضعیت موجود نقشه‌های کاداستر، از روش افاین^۶ استفاده نموده است [۱۵]. هاشیم^۷ (۲۰۱۶) با استفاده از تکنولوژی مبتنی بر مکان به بازسازی و اصلاح مجموعه داده‌های کاداستر قدیمی مالزی پرداخته است و به این نتیجه دست یافته که پایگاه داده کاداستر حاصل شده باید علاوه بر حدائق رساندن خطاهای هندسی درونی، با سیستم مختصات جدید که مبتنی بر مختصات ماهواره با دقت مکانی بالا است نیز مرجع شود [۸]. در تحقیق چه و همکاران [۲۰] به پشتونه حجم بالای نقشه‌های مستندشده دارای اندرکس کاداستری و تنوع پایگاه‌های داده کاداستری موجود در کشور اسلوونی، با استفاده از حجم بالای نقاط کنترل و مثلث بندی نقشه‌های کاداستر و همچنین اعمال شروط مرزی موسوم براساس قانون هوک^۸ به خطای محدود مربعات ۱۰/۰ متر رسیده اند. این تحقیق با هدف، بکارگیری الگوریتم ژنتیک تک هدفه، بر آن است تا علاوه بر نقاط کنترل، انطباق المان‌های هندسی تک نقشه‌های ثبتی و کاداستری را نیز مرجع نماید. در این راستا امکان تعریف انواع شروط بهینه‌سازی جهت حصول دقت موردنظر از مکان‌مرجع‌سازی نقشه‌های ثبتی شهری در این تحقیق مدنظر است.

۳- مواد و روش پیشنهادی

روش مورد استفاده در این تحقیق بر مبنای طراحی یک الگوریتم بهینه‌سازی ژنتیک است. الگوریتم مذبور جهت برآشش تابع افاین بر المان‌های کنترلی تصویر شامل نقاط کنترل زمینی، مساحت و طول است که به مکان‌مرجع‌سازی مکانی بهینه نقشه‌های اسکن شده

انجام داده است [۱۷]. کلینوو^۹ و دویتشر (۲۰۰۹) بر اساس مشاهدات غیر مستقیم همراه با تغییر شکل مشابه، نشان داده‌اند که اتصال بلوک‌های کاداستری مجاور با کاهش قابل توجهی از اختلافات سیستماتیک و تصادفی، در مقایسه با وضعیت پیش از اصلاح همراه است [۱۰]. سیریا و همکاران (۲۰۱۰) رویکردی برای تطبیق و تنظیم عارضه‌های خطی در جهت افزایش دقت مکانی یک مجموعه داده کاداستر قدیمی ارائه نموده‌اند [۱۳].

جنی و هورنی (۲۰۱۱) روشی جهت انجام تحلیل‌های هندسی برای مقایسه یک نقشه قدیمی با یک نقشه جدید مکان مرجع‌سازی شده با سیستم تصویر شناخته شده و دیتوم مشخص ارائه کرده‌اند [۹]. سیریا^{۱۰} و همکاران (۲۰۱۲) برای با تلفیق مجموعه داده‌های کاداستری گرافیکی قدیمی با مجموعه داده‌های قابل اعتماد و دقیق توپوگرافی مبتنی بر تطبیق عارضه‌های خطی از طریق تبدیل ^{۱۱}TPS نشان داده‌اند که بهبود قابل توجهی در کیفیت هندسی و دقت مکانی داده‌های کاداستر حاصل شده است [۱۴]. اشنیدمن^{۱۲} و همکاران (۲۰۱۳) برای بدست آوردن شکلی مناسب و مختصات‌هایی دقیق نقشه‌های کاداستر از الگوریتم ژنتیک ساده استفاده نموده‌اند و نتایج آن‌ها نشان داده است که الگوریتم ژنتیک دقیق‌تر از روش حدائق مربعات بوده و مختصات نزدیکتری به واقعیت بدست آورده است [۱۸]. مانزانو آگوگلیارو و همکاران (۲۰۱۳) به بررسی کاربرد الگوریتم‌های تکاملی در پارامترهای مکان‌مرجع‌سازی و ارزیابی دقت نقشه‌های تاریخی پرداخته است [۱۲]. سیسمان^{۱۴} (۲۰۱۴)، با هدف تبدیل

^۱ Klebanov

^۲ Siriba

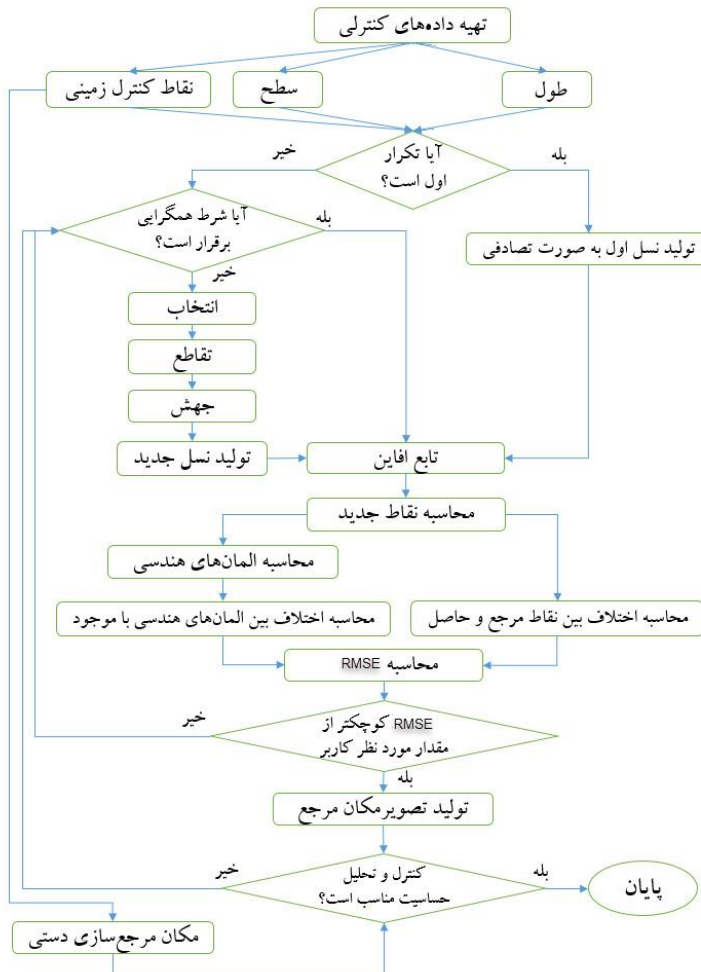
^۳ Thin Plate Splines

^۴ Shnaidman

^۵ Sisman

می تواند ارزش عددی صحیحی را به خود اختصاص دهد.

می‌انجامد (شکل (۱)). کروموزوم طراحی شده برای الگوریتم ژنتیک زنجیره ای از ۶ زن می‌باشد که هر کدام از آنها نشان‌دهنده ضرایب تبدیل افاین (رابطه (۱)) می‌باشند. هر زن ($a_1, a_2, a_3, a_4, a_5, a_6$)



شكل 1: فلوچارت مراحل اجرای الگوریتم

زن‌ها با محاسبه حداقل و حداکثر مقادیر هر زن در بین جمعیت اولیه تعیین گردید. روش نخبه‌گرایی^۱ برای انتخاب کروموزوم‌ها جهت لقاح استفاده شد. همچنین الگوریتم تک نقطه‌ای^۲ برای لقاح با احتمال ۰/۸ و الگوریتم تغییر اتفاقی یکی از زن‌ها در کروموزوم در

$$\begin{cases} X = a_1x + a_2y + a_3 \\ Y = a_4x + a_5y + a_6 \end{cases} \quad [V] \quad (1)$$

برای تعیین هر یک از کروموزوم‌های نسل اول به صورت تصادفی از بین نقاط کنترل زمینی ۳ نقطه انتخاب شده و سپس نقاط کنترل زمینی انتخاب شده در ۶ معادله ۶ مجھولی تولید می‌شوند. تعداد اعضای جمعیت ۲۰ کروموزوم لحاظ گردید تا از افزایش بار محاسباتی جلوگیری شود. محدوده مجاز تغییر مقادیر

^ Eliticism

Single Point Crossover

و $i+1$ ام المان هندسی مدنظر می باشند. میزان دقت برآش تبدیل افاین از رابطه (۴) محاسبه می شود. این مقدار به عنوان تابع هدف جهت کنترل همگرایی الگوریتم ژنتیک حداقل می شود. بر این اساس حداقل شدن (رابطه (۴)) در الگوریتم ژنتیک مدنظر می باشد.

محبوده مجاز آن ژن با احتمال ۰/۰۴ لحاظ شد. شرط توقف همگرایی و عدم تغییر نتایج پس از حداقل ۱۰۰ تکرار یا حداقل ۱۰۰۰ تکرار می باشد. جهت محاسبه مقادیر المان های مساحت و طول در این پارسل ها به ترتیب از (رابطه (۲)), (رابطه (۳)) و (رابطه (۴)) استفاده شده است. در روابط (۲) و (۳)، x_i, y_i و x_{i+1}, y_{i+1} مولفه های نقاط i ام

$$A = \frac{\left| \sum_{i=1}^n x_i \times y_{i+1} - y_i \times x_{i+1} \right|}{2}$$

رابطه (۲)

$$L = \sum_{i=1}^n \sqrt{(x_i - x_{i+1})^2 + (y_i - y_{i+1})^2}$$

رابطه (۳)

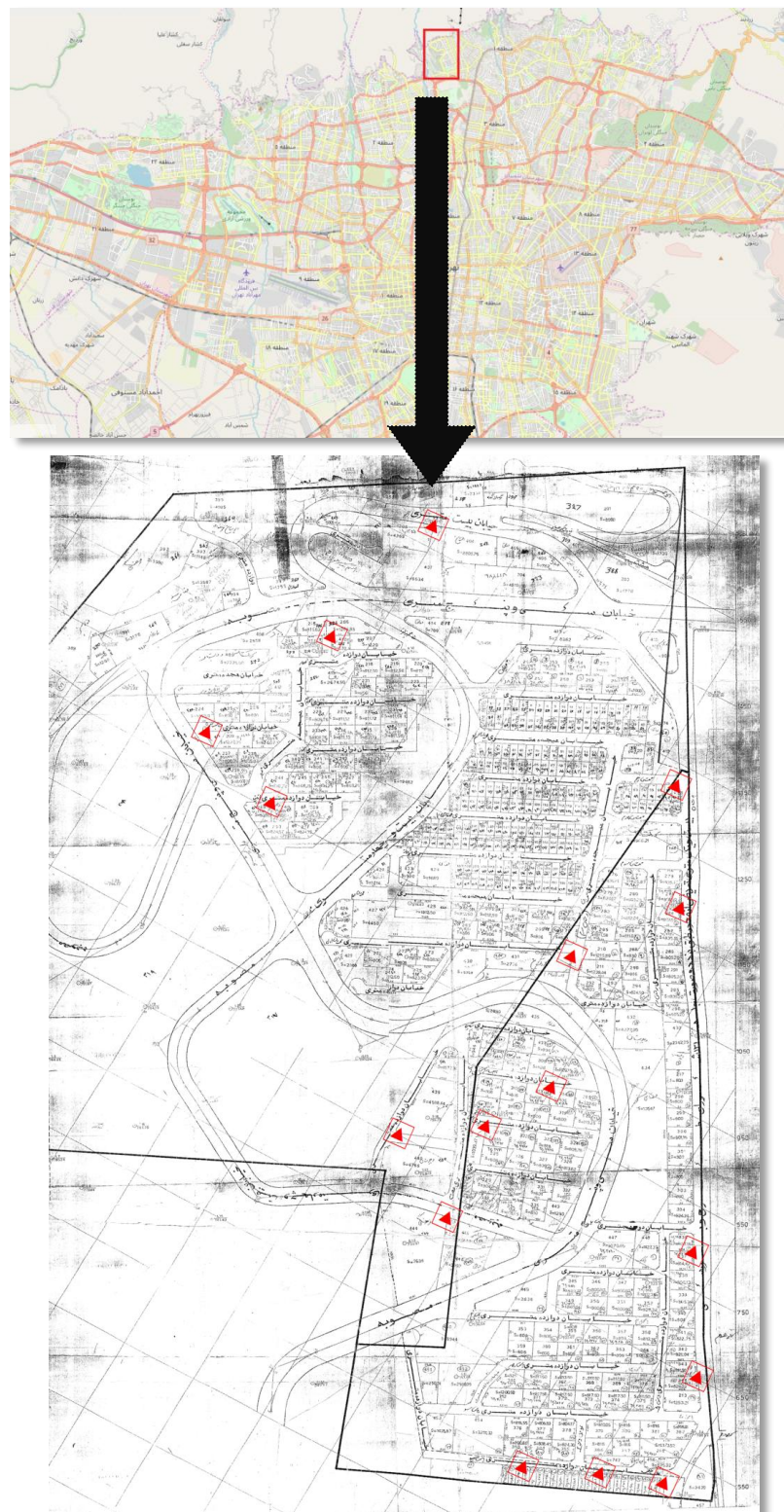
$$\text{Fitness Function} = \text{Minimize}\{RMSE\} = \text{Minimize}\{\sqrt{RMSE_p^2 + RMSE_a^2 + RMSE_l^2}\}$$

رابطه (۴)

مربوطه لحاظ شده که نقاط مرجع زمینی آن با استفاده از GPS دوفر کانسه و مراجعه محلی با دقت اسمی ۲۰ تا ۳۰ سانتیمتر برداشت شده است. داده های کنترلی مساحت شامل ۳ نمونه برای نقشه اول (شکل (۴)، جدول (۳ و ۴)) و ۴ نمونه برای نقشه دوم (شکل (۵)، جدول (۵ و ۶)) و داده های کنترل طول شامل ۳ نمونه برای نقشه اول (شکل (۶)، جدول (۷ و ۸)) و ۴ نمونه برای نقشه دوم (شکل (۷)، جدول (۹ و ۱۰)) با انتخاب پارسل های نمونه و براساس داده های ثبتی مندرج بر روی نقشه تعیین شده اند.

در رابطه (۴)، $RMSE_p$ خطاهای برآش نقاط کنترل زمینی و $RMSE_a$ و $RMSE_l$ میزان اختلاف المان های مساحت، طول اندازه گیری شده در هر تکرار با مقدار مرجع آنها می باشند. اختلافها با واحد متر همسنگ شده اند که برای این منظور مجدور اختلاف مساحت لحاظ شده است.

جهت آزمون روش پیشنهادی نتایج حاصل با روش مرسوم مکان مرجع سازی تصاویر مقایسه می شود. برای این منظور مقایسه در شرایط یکسان داده های کنترلی و همچنین با افروzen داده های کنترلی المان های هندسی صورت می گیرد. بدین ترتیب صحت روش پیشنهادی و تأثیر المان های کنترلی بر مرجع سازی بررسی می شود. برای اجرای روش پیشنهادی از دو نقشه کاداستر کاغذی اسکن شده مربوط به شهر تهران در مقیاس ۱:۲۰۰ استفاده شده است. نقشه ها مربوط به شهر تهران است (شکل (۲ و ۳)). برای نقشه ها به ترتیب ۱۶ نقطه کنترل زمینی (شکل (۲)، جدول (۱)) و ۱۴ نقطه کنترل زمینی (شکل (۳)، جدول (۲)) در تصویر



شکل ۲: تصویر نقشه ثبتی اول اسکن شده بخشی از شهر تهران و پراکندگی نقاط انتخاب شده برای مکان مرجع سازی



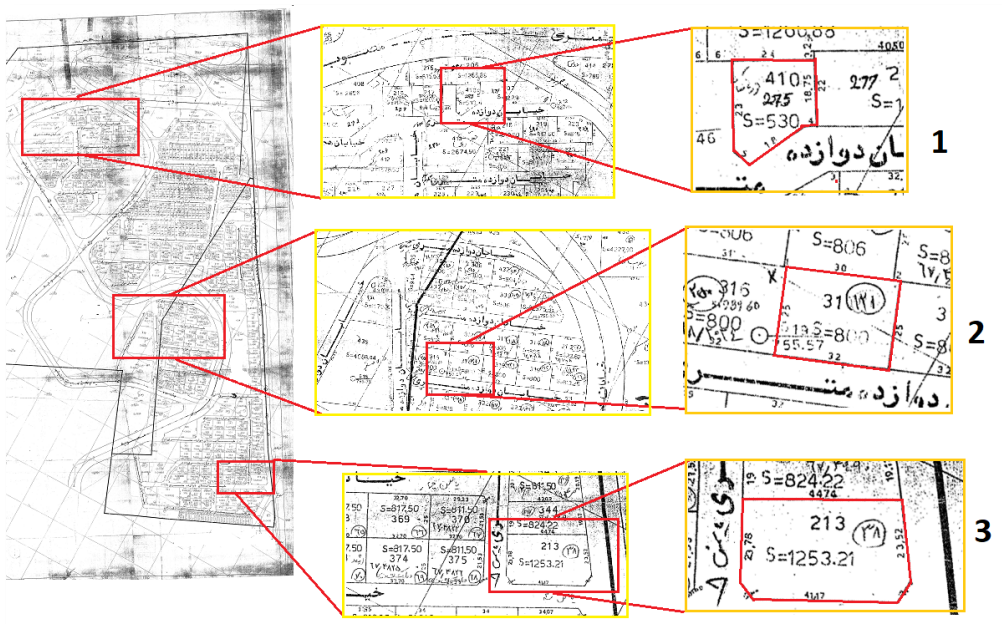
شکل ۳: تصویر نقشه ثبتی دوم اسکن شده بخشی از شهر تهران و پراکندگی نقاط انتخاب شده برای مکان مرجع سازی

جدول ۱: نقاط کنترل زمینی برای نقشه اول

Y	X	نقطه کنترل	Y	X	نقطه کنترل
۲۹۶۲۷۷۲۷/۸	۵۲۵۲۵۳/۹۲	p۹	۲۹۶۲۱۲۲/۲۲	۵۲۶۱۹۵/۱۷	p۱
۲۹۶۲۷۰۱/۹۷	۵۲۵۷۸+۵	p۱۰	۲۹۶۲۲۶۴/+۸	۵۲۶۱۷۵/۴۳	p۲
۲۹۶۲۵۰۲۴/۶۲	۵۲۵۸۱۲/۱۴	p۱۱	۲۹۶۲۴۱۲/+۰۲	۵۲۶۰۹۹/۱۶	p۳
۲۹۶۲۴۵۲/۲۲	۵۲۵۷۸۷/۸۶	p۱۲	۲۹۶۲۸۱۷/۴۶	۵۲۵۸۸۲/۳۵	p۴
۲۹۶۲۲۹۶/۸۲	۵۲۵۶۹۴/۹	p۱۳	۲۹۶۲۹۶۲/۸۲	۵۲۵۸۰۲/۲۶	p۵
۲۹۶۲۲۲۹/۱۷	۵۲۵۹۲۸/۵۲	p۱۴	۲۹۶۲۱۴۲/۴۶	۵۲۵۲۷۵/+۷	p۶
۲۹۶۲۰۵۳/۵۵	۵۲۶۰۰۲/۷۹	p۱۵	۲۹۶۲۹۵۸/۵۹	۵۲۵۲۲۲/۴۵	p۷
۲۹۶۲۰۸۷/۴۸	۵۲۶۰۹۷/۶۷	p۱۶	۲۹۶۲۷۷۶/۹۵	۵۲۵۲۴۰/۵۲	p۸

جدول ۲: نقاط کنترل زمینی برای نقشه دوم

Y	X	نقطه کنترل	Y	X	نقطه کنترل
۲۰۶۰۱۸۵/۶۵	۵۸۲۰۷۲۲/۶۷	p۸	۲۹۸۸۲۷۶/۲۱	۵۴۴۶۷۷۸/۵۵	p۱
۲۲۵۴۷۷۴/۶۲	۵۰۳۸۷۲۰/۲۷	p۹	۲۲۴۷۱۲/۴۱	۵۲۵۵۰۳۸/۲۵	p۲
۲۹۹۰۷۵۶/۷۱	۵۸۲۶۳۱۶/۴۸	p۱۰	۲۰۲۸۸۵۴/۲	۵۹۹۳۵۴۴/۲۴	p۳
۳۱۱۴۵۶۳/۷۴	۵۷۲۲۷۴۱/۸۵	p۱۱	۲۲۵۱۹۳۹/۴۷	۵۲۴۲۴۶۷/۹۶	p۴
۲۸۹۲۰۸۱/۱۴	۵۷۲۵۰۷۹/۵	p۱۲	۲۸۷۴۶۱۲/۸۴	۵۹۷۱-۱۱/۰۴	p۵
۳۵۲۵۹۸۵/۰۱	۵۴۰۸۸۳۴/۴۱	p۱۳	۲۸۶۱۳۱۴/۷۴	۵۹۱۸۷۸۷/۱۴	p۶
۲۰۲۰۵۶۳/۹	۵۸۶۰۴۹۰/۵۲	p۱۴	۲۰۷۱۰۲۶/۴۵	۵۹۴۲۰۷۲/۴۴	p۷



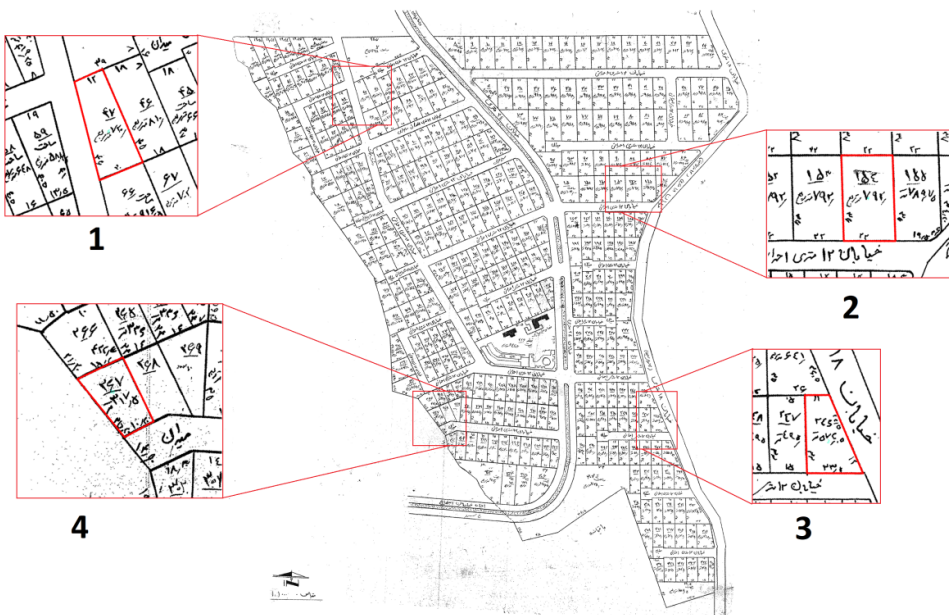
شکل ۴: پارسل‌های مشخص شده برای آزمایش اختلاف سطوح در نقشه اول

جدول ۳: نقاط انتخاب شده از روی تصویر نقشه اول برای محاسبه سطوح مورد آزمایش

Y	X	نقطه کنترل	Y	X	نقطه کنترل
۲۹۶۲۱۷۷/۰۸	۵۲۶۱۹۲/۱۹	P25	۲۹۶۲۵۰۴/۹۳	۵۲۵۸۲۰/۱۴	P17
۲۹۶۲۱۶۹/۲۲	۵۲۶۱۹۶/۷۸	P26	۲۹۶۲۴۹۵/۴۵	۵۲۵۷۸۸/۴۶	P18
۲۹۶۲۹۵۰/۴۶	۵۲۵۲۱۷/۸۱	P27	۲۹۶۲۴۸۱/۶۲	۵۲۵۸۲۶/۳۶	P19
۲۹۶۲۹۳۱/۶۵	۵۲۵۲۲۷/۹۸	P28	۲۹۶۲۴۷۲/۴۴	۵۲۵۷۹۶/۰۲	P20
۲۹۶۲۹۳۱/۲۲	۵۲۵۲۲۲/۲	P29	۲۹۶۲۱۶۲/۱	۵۲۶۱۹۵/۶۲	P21
۲۹۶۲۹۴۷/۷	۵۲۵۲۴۲/۱۵	P20	۲۹۶۲۱۵۵/۲۴	۵۲۶۱۷۷/۴۹	P22
۲۹۶۲۹۴۹/۱۱	۵۲۵۲۴۴/۸۹	P21	۲۹۶۲۱۵۷/۰۳	۵۲۶۱۷۴/۹۲	P23
۲۹۶۲۹۶۲/۱۳	۵۲۵۲۲۹۵۴	P22	۲۹۶۲۱۶۶/۸۵	۵۲۶۱۶۹/۲۵	P24

جدول ۴: مساحت موجود پارسل‌های انتخاب شده در نقشه اول

مساحت پارسل متناظر با مساحت بدست آمده از نقاط p17 تا p20 در این پارسل = ۸۰۰ متر مربع
مساحت پارسل متناظر با مساحت بدست آمده از نقاط P21 تا P26 در این پارسل = ۵۳۰ متر مربع
مساحت پارسل متناظر با مساحت بدست آمده از نقاط p27 تا p32 در این پارسل = ۲۱/۱۳ متر مربع



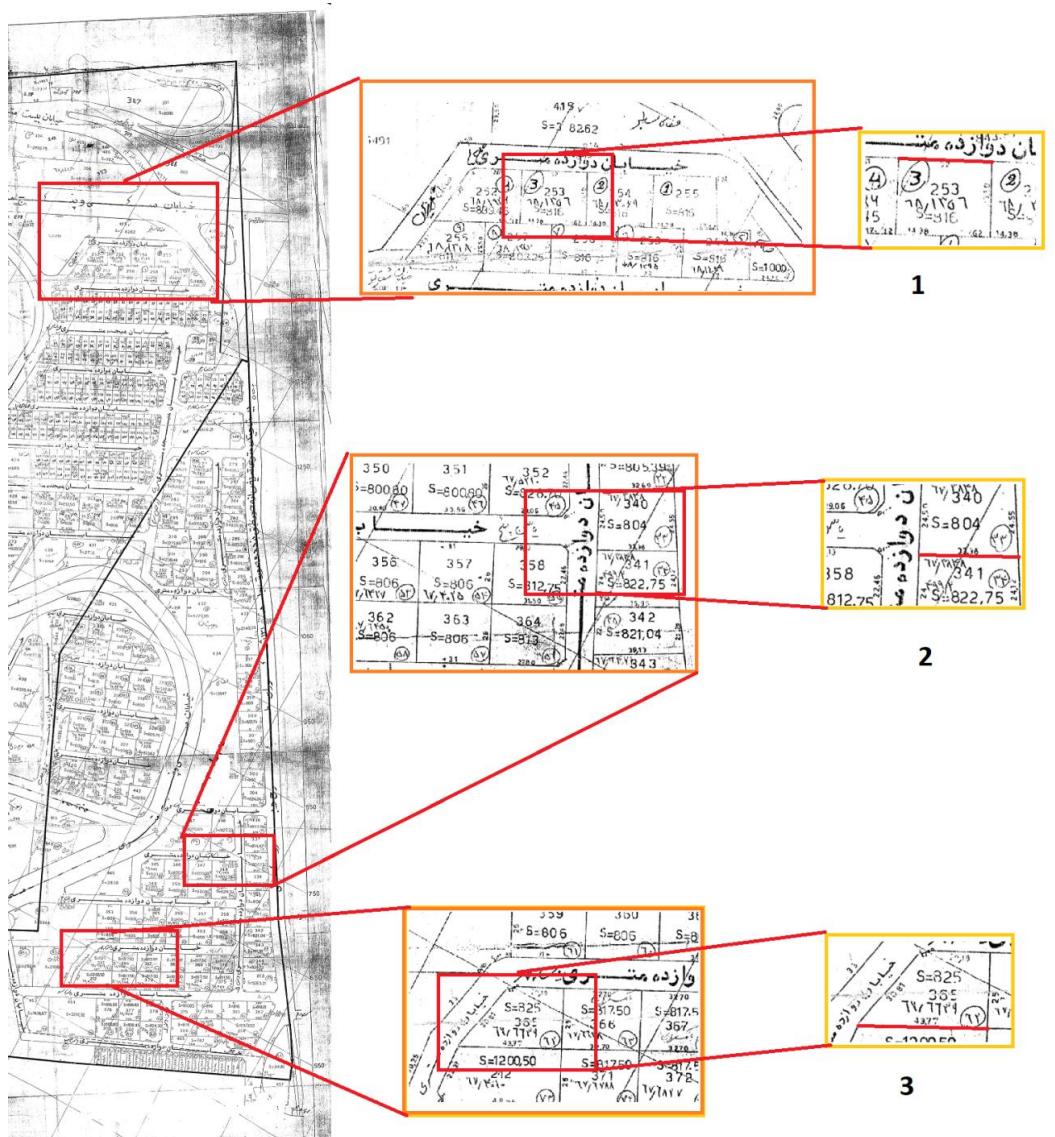
شکل ۵: پارسل های مشخص شده برای آزمایش اختلاف سطوح در نقشه دوم

جدول ۵: نقاط انتخاب شده از روی تصویر نقشه دوم برای محاسبه سطوح مورد آزمایش

Y	X	نقطه کنترل	Y	X	نقطه کنترل
۳۹۶۰۲۵۰/۹۲۶	۵۲۴۸۵۰/۱۵۷۳	P23	۳۹۶۰۵۹۰/۲۳	۵۲۴۲۵۰/۷۱۷۸	P15
۳۹۶۰۲۲۱/۶۴۱	۵۲۴۸۷۲/۲۵۵۴	P24	۳۹۶۰۵۵۶/۶۲۲	۵۲۴۲۷۷/۹۸۰۵	P16
۳۹۶۰۲۱۶/۱۳۸	۵۲۴۸۴۹/۶۴۹۳	P25	۳۹۶۰۵۴۴/۳۹۸	۵۲۴۲۶۲/۹۰۰۶	P17
۳۹۶۰۲۴۸/۱۴۲	۵۲۴۸۴۰/۴۲۰۷	P26	۳۹۶۰۵۸۲/۰۴۲	۵۲۴۲۴۰/۷۳۹	P18
۳۹۶۰۱۷۹/۶۲	۵۲۴۵۶۷/۱۴۲۶	P27	۳۹۶۰۵۵۵/۰۲۴	۵۲۴۷۴۴/۶۸۳۶	P19
۳۹۶۰۱۵۹/۶۸۱	۵۲۴۵۸۳/۰۱۷۶	P28	۳۹۶۰۵۱۹/۷۸۱	۵۲۴۷۵۵/۵۸۴۵	P20
۳۹۶۰۱۵۱/۹۲۴	۵۲۴۵۷۴/۲۵۴۶	P29	۳۹۶۰۵۱۴/۱۷۲	۵۲۴۷۳۴/۶۲۹۵	P21
۳۹۶۰۱۶۸/۷۶۱	۵۲۴۵۵۳/۶۸۰۵	P30	۳۹۶۰۵۴۹/۰۳۰	۵۲۴۷۲۴/۰۴۶۱	P22

جدول ۶: مساحت موجود پارسل های انتخاب شده در نقشه دوم

مساحت پارسل متناظر با مساحت بدست آمده از نقطه p15 تا p18 در این پارسل = ۷۲۰ متر مربع
مساحت پارسل متناظر با مساحت بدست آمده از نقطه P19 تا P22 در این پارسل = ۷۹۲ متر مربع
مساحت پارسل متناظر با مساحت بدست آمده از نقطه p23 تا p26 در این پارسل = ۵۷۴,۰۵ متر مربع
مساحت پارسل متناظر با مساحت بدست آمده از نقطه p27 تا p30 در این پارسل = ۳۱۷,۵ متر مربع



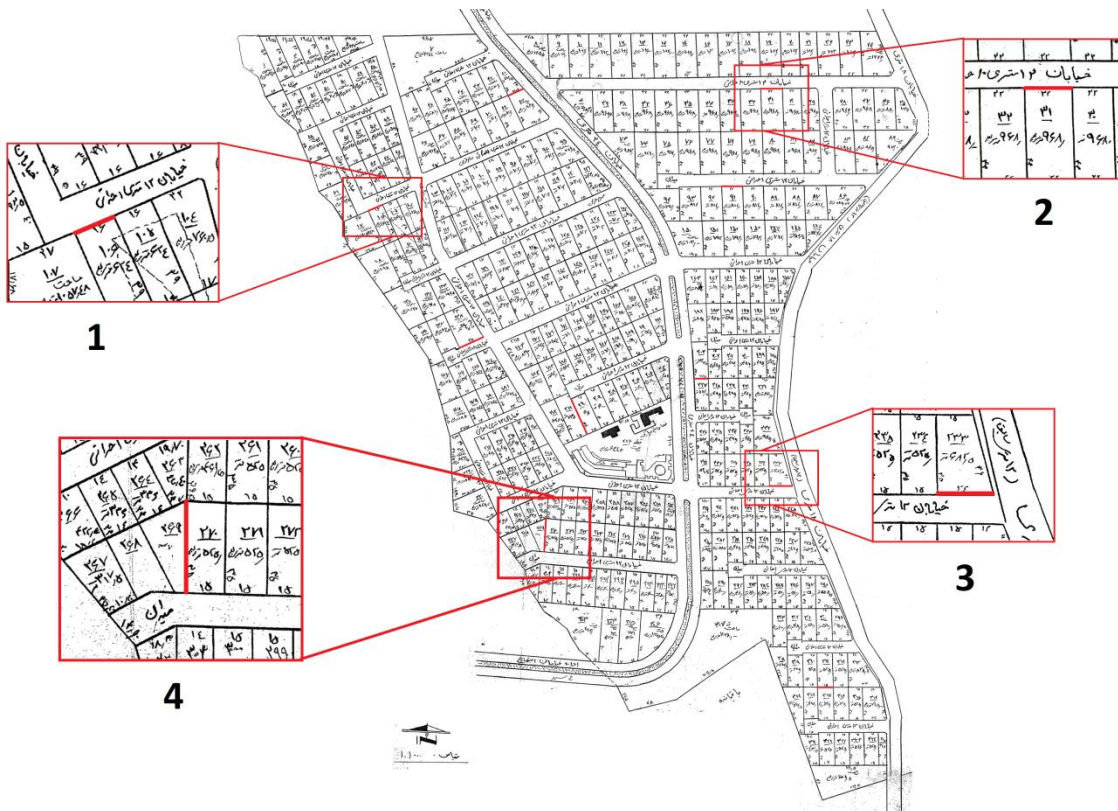
شکل ۶: پارسل‌های مشخص شده برای آزمایش اختلاف طول اضلاع برای نقشه اول

جدول ۷: نقاط انتخاب شده از روی تصویر نقشه اول برای محاسبه طول اضلاع مورد آزمایش

Y	X	نقطه کنترل	Y	X	نقطه کنترل
۳۹۶۲۰۴۵/۹۴	۵۳۵۵۶۶/۴۶	p۲۶	۳۹۶۲۱۴۱/۴۲	۵۳۵۹۴۲/۲۰	p۲۲
۳۹۶۲۳۲۲/۸۲	۵۳۶۱۴۰/۶۶	p۲۷	۳۹۶۲۱۵۶/۹۸	۵۳۵۹۸۲/۹۷	p۲۴
۳۹۶۲۳۱/۹۳	۵۳۷۱۱۱/۶۰	p۲۸	۳۹۶۳۰۵۸/۱۰	۵۳۵۵۹۸/۱۷	p۲۵

جدول ۸: طول اضلاع موجود پارسل های انتخاب شده در نقشه اول

طول ضلع پارسل متناظر با طول ضلع بدست آمده از نقاط p33 تا p34 در این پارسل = ۴۳/۷۷ متر
طول ضلع پارسل متناظر با طول ضلع بدست آمده از نقاط p35 تا p36 در این پارسل = ۳۲/۳۶ متر
طول ضلع پارسل متناظر با طول ضلع بدست آمده از نقاط p37 تا p38 در این پارسل = ۳۲ متر



شکل ۷: پارسل های مشخص شده برای آزمایش اختلاف طول اضلاع برای نقشه دوم

جدول ۹: نقاط انتخاب شده از روی تصویر نقشه دوم برای محاسبه طول اضلاع مورد آزمایش

Y	X	نقطه کنترل	Y	X	نقطه کنترل
۳۹۶.۲۹۱/۸۲۵	۵۳۴۸۲۰/۸۸۴۵	p۲۵	۳۹۶.۴۶۰/۹۵۱	۵۳۴۲۴۰/۳۲۸۶	P۲۱
۳۹۶.۲۸۵/۹۹۳	۵۳۴۷۹۹/۹۲۹	p۲۶	۳۹۶.۴۷۰/۴۷۶	۵۳۴۳۵۲/۴۵۷۱	P۲۲
۳۹۶.۱۹۸/۹۴۹	۵۳۴۵۹۳/۰۷۵۹	p۲۷	۳۹۶.۶۷۸/۶۵۶	۵۳۴۶۸۵/۵۳۹۶	P۲۳
۳۹۶.۱۶۵/۴۹۲	۵۳۴۵۹۹/۴۶۳۲	p۲۸	۳۹۶.۶۸۴/۳۷۱	۵۳۴۷.۶/۳۸۸۸	P۲۴

جدول ۱۰: طول اصلاح موجود پارسل‌های انتخاب شده برای نقشه دوم

طول ضلع پارسل متناظر با طول ضلع بدست آمده از نقاط $p31$ تا $p32$ در این پارسل = ۱۶ متر
طول ضلع پارسل متناظر با طول ضلع بدست آمده از نقاط $P34$ تا $P33$ در این پارسل = ۲۲ متر
طول ضلع پارسل متناظر با طول ضلع بدست آمده از نقاط $p35$ تا $p36$ در این پارسل = ۲۴ متر
طول ضلع پارسل متناظر با طول ضلع بدست آمده از نقاط $p37$ تا $p38$ در این پارسل = ۳۵ متر

مدل محاسبه شدند. جدول (۱۲)، نشان‌دهنده تأثیر افزودن المان طول، جدول (۱۳) نشان‌دهنده افزودن المان سطح و جدول (۱۴) نشان‌دهنده تأثیر افزودن هر دو المان طول و سطح بر میزان $RMSE_p$ و $RMSE_p$ حاصل از رابطه (۲) است. چنانکه مشاهده می‌شود، افزودن المان‌های طول و سطح سبب ایجاد افزایش خطای مکان مرجع‌سازی در هر دو نمونه نقشه ارائه شده در این مقاله می‌گردد. در حالتی که هر دو المان سطح و طول لحظه شده‌اند (جدول (۱۴)), مقدار $RMSE_p$ حاصل از الگوریتم ژنتیک پیشنهادی معادل ۲,۳۹۲۱ متر و ۲,۶۱۲ متر روی نقاط کنترل شده است که تقریباً ۳۶ سانتیمتر بیشتر از $RMSE_p$ حاصل از روش مرسوم مکان مرجع‌سازی (۲,۰۲۵۳ متر و ۲,۲۶۲ متر) شده است. به علاوه در این حالت مقدار خطای کل مکان مرجع‌سازی با روش پیشنهاد معادل ۲,۴۳۰۶ متر و ۲,۷۱۴ شده است که با روش مرسوم حدود ۴۵ سانتیمتر اختلاف دارد. جدول (۱۵) ارائه دهنده خطای هر یک از المان‌های هندسی کنترلی مورد استفاده برای المان‌های کنترلی سطح و المان‌های کنترلی طول در مقایسه بین روش پیشنهادی و روش مرسوم مکان مرجع‌سازی در هر دو نقشه است.

۴- بررسی نتایج و یافته‌های تحقیق

مکان مرجع‌سازی تصاویر مورد مطالعه به روش مرسوم در محیط نسخه ۱۰,۵ نرم‌افزار آرک مپ^۱ با استفاده از نقاط کنترل زمینی ارائه شده در جدول (۱) و (۲) و مدل افاین اجرا شد که میزان $RMSE_p$ برای تصاویر اول و دوم به ترتیب برابر ۲,۰۲۰۴ متر و ۲,۲۲۳ متر حاصل شد. به صورت مشابه، مرجع‌سازی صرفاً با نقاط کنترل زمینی با استفاده از روش پیشنهادی و با ۱۰۰۰ تکرار انجام شد که نتایج آن شامل میانگین، کمترین و بیشترین $RMSE_p$ در جدول (۱۱) نشان داده شده است.

نزدیک بودن مقدادر خطای حاصل از میانگین خطای حاصل از روش پیشنهادی (۲,۰۲۵۳ متر و ۲,۲۶۲ متر) و خطای حاصل از روش مرسوم مرجع‌سازی (۲,۰۲۰۴ متر و ۲,۲۲۳ متر) با ورودی‌ها مؤید صحت عملکرد روش پیشنهادی می‌باشد. بالاتر بودن مقدار خطای روش پیشنهادی نسبت به روش مرسوم نیز ناشی از ماهیت الگوریتم‌ها است، بصورتی که در شرایطی که در روش مرسوم از الگوریتم معین کمترین مربعات استفاده می‌شود که یک جواب واحد را ارائه می‌نماید، الگوریتم ژنتیک روشی کاوشی است که در هر بار تکرار می‌تواند جوابی متفاوت و نزدیک به جواب معین را ارائه دهد. انتظار می‌رود که با تکرار بیشتر اعداد حاصل از این دو روش به هم نزدیکتر شوند.

برای محاسبه حساسیت الگوریتم پیشنهادی به ترتیب المان‌های سطح و طول وارد الگوریتم شده و میزان خطای حاصل به صورت میانگین در ۱۰۰۰ بار تکرار

^۱ ArcGIS ArcMap 10.5

جدول ۱۱: میانگین، کمترین و بیشترین مقدار $RMSE_p$ حاصل از ۱۰۰۰ بار اجرای روش پیشنهادی

شماره نقشه	میانگین	بیشترین	کمترین
۱	۲,۰۲۵۳	۲,۰۴۳۵	۲,۰۲۱۴
۲	۲,۲۶۲	۲,۵۱۵	۲,۲۳۵

جدول ۱۲: نتایج تاثیر محاسبه اختلاف طول بر میزان اختلاف

شماره نقشه	$RMSE_p$ (m)	$RMSE_L$ (m)	$RMSE$ (m)
۱	۲,۱۰۹۳	۰,۱۲۹۴	۲,۲۳۸۷
۲	۲,۳۲۳	۰,۱۵۱	۲,۳۹۸

جدول ۱۳: نتایج تاثیر محاسبه اختلاف سطح بر میزان اختلاف

شماره نقشه	$RMSE_p$ (m)	$RMSE_a$ (m)	$RMSE$ (m)
۱	۲,۱۱۵۹	۰,۲۷۵۶	۲,۳۹۱۵
۲	۲,۳۴۲	۰,۲۹۳	۲,۴۶۵

جدول ۱۴: میانگین $RMSE_p$ و اختلاف المانها

شماره نقشه	$RMSE_p$ (m)	$RMSE_a$ (m)	$RMSE_L$ (m)	$RMSE$ (m)
۱	۲,۳۹۲۱	۰,۲۹۶۳	۰,۱۲۳۵	۲,۴۳۰۶
۲	۲,۶۱۲	۰,۳۱۲	۰,۱۶۲	۲,۷۱۴

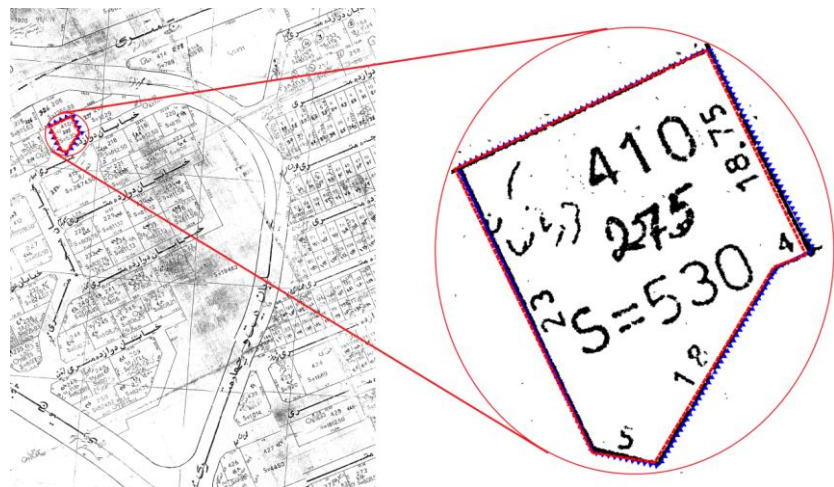
معادل 530 مترمربع است در روش پیشنهادی معادل $532/39$ مترمربع و در روش مرسوم مکان مرجع سازی معادل $534,88$ مترمربع حاصل شده است که نشان دهنده بهبود 45 درصدی در اختلاف مساحت حاصل از روش پیشنهادی است (جدول ۱۵). در بررسی حساسیت نتایج حاصله به پارامترهای الگوریتم ژنتیک، تغییرات $RMSE$ نسبت به تغییر احتمال لقاد و جهش به ترتیب در محدوده $0/5$ تا $0/9$ و در محدوده $0/01$ تا $0/08$ بررسی گردید. براین اساس بهترین نتیجه در دو نقشه مورد مطالعه با احتمال لقاد معادل $0/8$ و احتمال جهش $0/02$ حاصل گردید.

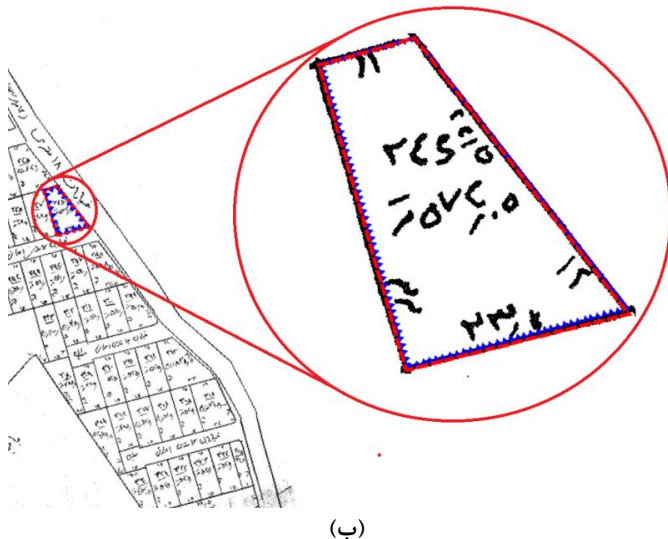
کاهش درصد اختلاف المان های مساحتی و طول حاصل از روش پیشنهادی در این مقاله نسبت به روش مرسوم که در جدول (۱۵) ارائه شده است، نشان دهنده افزایش دقت مکان مرجع سازی در المان های هندسی نقشه های کاداستری است. متوسط درصد بهبود دقت المان مساحت و طول در دو نقشه مورد مطالعه حدود 40 درصد است.

شکل (۸) نمونه ای از همپوشانی تصاویر مرجع شده با روش مرسوم و روش پیشنهادی را ارائه می دهد. در شکل مذبور یک پارسل بزرگنمایی شده است که در آن محدوده پارسل مکان مرجع شده با روش پیشنهادی بر روی تصویر مکان مرجع شده با روش مرسوم نمایش داده شده است. مساحت این پارسل که

جدول ۱۵: اختلاف بین المان‌های هندسی موجود و حاصل شده بعد از مکان مرجع توسط الگوریتم زنتیک

درصد اخلاف	میزان اختلاف با روش پیشنهادی	اندازه المان با روش پیشنهادی	درصد اختلاف	میزان اختلاف با روش مرسوم	اندازه المان با روش مرسوم	اندازه المان مرجع	نوع المان هندسی	شماره نقشه
۰,۴۵	۳,۶۵	۸۰,۳,۶۵	۰,۹۲	۷,۳۷	۸۰,۷,۳۷	۸۰	سطح (متر) (مربع)	۱
۰,۴۴	۲,۳۹	۵۳۲,۳۹	۰,۷۳	۳,۸۸	۵۳۴,۸۸	۵۳۰		
۰,۴۳	۵,۴۸	۱۲۵۸,۶۹	۰,۹۲	۱۱,۵۴	۱۲۶۴,۷۵	۱۲۵۳,۲۱		
۰,۶۶	۰,۲۹	۴۴,۰۶	۰,۹۸	۰,۴۳	۴۴,۲۰	۴۳,۷۷		
۰,۵۶	۰,۱۸	۳۲,۱۸	۰,۹۶	۰,۳۱	۳۲,۳۱	۳۲		
۰,۶۸	۰,۲۳	۳۳,۵۹	۱,۱۱	۰,۳۸	۳۳,۷۴	۳۳,۳۶		
۰,۴۰	۲,۸۸	۷۲۲,۸۸	۰,۸۵	۶,۱۲	۷۲۶,۱۲	۷۲۰	سطح (متر) (مربع)	۲
۰,۴۱	۳,۲۴	۷۹۵,۲۴	۰,۷۰	۵,۵۴	۷۹۷,۵۴	۷۹۲		
۰,۴۲	۲,۴۱	۵۷۶,۴۶	۰,۹۰	۵,۱۶	۵۷۹,۲۱	۵۷۴,۰۵		
۰,۴۰	۱,۲۷	۳۱۸,۷۷	۰,۸۷	۲,۷	۳۲۰,۲۶	۳۱۷,۵		
۰,۵۶	۰,۰۸	۱۶,۰۸	۲,۵	۰,۷۱	۱۶,۴	۱۶		
۰,۵۸	۰,۱۲	۲۲,۱۲	۱,۹	۰,۴۲	۲۲,۴۲	۲۲		
۰,۶۳	۰,۱۵	۲۴,۱۵	۲,۲	۰,۵۵	۲۴,۵۵	۲۴	طول (متر)	۲
۰,۶۷	۰,۲۳	۳۵,۲۳	۱,۷	۰,۶۲	۳۵,۶۲	۳۵		





شکل ۸: همپوشانی محدوده پارسل نمونه مکان مرجع شده با تصویر مکان مرجع شده (خط چین سیز رنگ) و با روش مرسوم (خط مثلثی آبی رنگ) برای الف) نقشه اول (شکل (۲)) و ب) نقشه دوم (شکل (۳))

دقتی برابر ۶۲ cm درصد دارد. با توجه به دقت های کسب شده، روش پیشنهادی در محاسبه المان های هندسی نسبت به روش مرسوم از دقت بالاتری برخوردار است. در روش پیشنهادی یکی از مطالعات انجام شده [۱۲]، میانگین اختلاف بین نقاط ۲۳۱۷۲ متر برآورد شده است، در حالیکه در روش پیشنهادی در این مقاله، میانگین اختلاف بین نقاط معادل ۲۵۰۲۵ متر حاصل شده است. همچنین در روش پیشنهادی در مطالعه ای دیگر [۱۶]، متوسط اختلاف بین سطوح ۴۵۷۹ cm درصد محاسبه شده که در این تحقیق متوسط اختلاف بین سطوح ۴۲ cm درصد برآورد شده است.

براساس روش پیشنهادی بررسی بهبود احتمالی حاصل از افزودن سایر المان های هندسی کنترلی از قبیل زاویه و امتداد برای تحقیقات آتی پیشنهاد می شود. همچنین بررسی نتیجه اعمال وزن بر روی المان های دخیل در مکان مرجع سازی پیشنهاد می گردد است که ممکن است انعطاف پذیری بیشتری برای فرآیند مکان مرجع سازی به همراه داشته باشد.

۵- نتیجه گیری

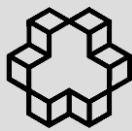
نتیجه مقایسه الگوریتم پیشنهادی مکان مرجع سازی در این مقاله با الگوریتم مرسوم بر روی داده های مشابه کنترل زمینی که شامل ۱۶ نقطه کنترل زمینی است حدود ۵ cm مانند مساحت محدوده مورد برآورد می باشد که مؤید صحت عملکرد پیشنهادی است. افزودن المان های هندسی به فرآیند مکان مرجع سازی به بهبود خطای مساحت و طول انجامیده است. این در حالی است که دقت کلی مکان مرجع سازی کاهش یافته است. براین اساس مقادیر $RMSE$ در روش پیشنهادی معادل ۲۳۹۲۱ cm متر و ۲۶۱۲ cm برای دو نقشه مورد بررسی شده است که با مقدار حاصل از روش مرسوم (۲۰۲۰۴ cm و ۲۲۲۳ cm) حدود ۳۷ cm مانند مساحت اخلاقی دارد. این در حالی است که صحت المان های هندسی تا ۴۰ cm درصد بهبود را نشان می دهد که در فرآیندهای کاداستری و ثبتی بسیار مهم محاسبه می گردد.

درصد اختلاف المان سطح برای روش مرسوم و روش پیشنهادی به ترتیب ۸۵ cm و ۴۲ cm درصد محاسبه شده است. همچنین درصد اختلاف المان طول در روش مرسوم دقتی برابر ۷۳ cm درصد و در روش پیشنهادی

مراجع

- [1] H. Bagheri, S. Sadeghian, A. MilanLak, "Comprehensive Evaluation of WorldView-2 Images GeoReferencing using Classic and Intelligent Algorithms", the Journal of Surveying Science and Techniques, Vol. 4(3). pp. 87-101, 2014.
- [2] C. Ballett, "Georeference in the analysis of the geometric content of early maps", e-Perimetron, Vol. 1(1), pp. 32–42, 2006.
- [3] Y. Doytsher, "A rubber sheeting algorithm for non-rectangular maps". Computers & Geosciences, Vol. 26(9-10), pp. 1001-1010. 2000.
- [4] Y. Doytsher, E. Gelbman, "Rubber-Sheeting Algorithm for Cadastral Maps" Journal of Surveying Engineering, Vol. 121(4), pp. 155-162. 1995.
- [5] M. Etemadi, M. Abdollahi Tirabadi "Investigation of Completion and Revision Methods of the Cadastre Maps Produced by Photogrammetry", presented at the 79 Gemoatics Conferenc, Iranian National Cartography Center (NCC), Tehran, Iran, 2000. (Persian)
- [6] K. Fradkin, and Y. Doytsher, "Establishing an urban digital cadastre: analytical reconstruction of parcel boundaries" Computers, Environment and Urban Systems, Vol. 26(5), pp. 447-463, 2002.
- [7] Y. Gavish, and Y. Doytsher. "Analytical Cadastre in Israel: restoring land boundaries based on photogrammetric tools", FIG XXII International Congress, 2002.
- [8] N.M. Hashim, A.H. Omar, K.M. Omar, N.M. Abdullah, and M.H. Yatim "Cadastral Positioning Accuracy Improvement: A Case Study In Malaysia" ISPRS - International Archives of the Photogrammetry, Remote Sensing and Spatial Information Sciences, XLII-4/W1, pp. 265-270, 2016.
- [9] B. Jenny, and L. Hurni "Studying cartographic heritage: Analysis and visualization of geometric distortions"
- [10] M. Klebanov and Y. Doytsher "Cadastral Triangulation: A Block Adjustment Approach for Joining Numerous Cadastral Blocks" Nordic Journal of Surveying and Real Estate Research Special Series 4, pp. 53–68, 2009.
- [11] M. Maleki and M. Mesgari "Cadastre Map Production and Legal Databases Role in Land Registry", the 82 Geomatics Conference, Iranian National Cartography Center (NCC), 2003. (Persian)
- [12] F. Manzano-Agüilaro, C. San-Antonio-Gómez, S. López, F. Montoya, F., and C. Gil "Pareto-based evolutionary algorithms for the calculation of transformation parameters and accuracy assessment of historical maps" Computers & Geosciences, Vol. 57, pp. 124-132, 2013.
- [13] D.N. Siriba and S.M. Sester "Mutual Linear Feature Matching and Alignment Designed for Geometric Accuracy Enhancement of Graphical Cadastral Datasets" Survey Review, Vol. 44(325), pp. 91-101, 2010.
- [14] D.N. Siriba, S. Dalyot, S., and M. Sester "Geometric quality enhancement of legacy graphical cadastral datasets through thin plate splines transformation" Survey Review, Vol. 44(325), pp. 91-101, 2012.
- [15] Sisman, Y. (2014). Coordinate transformation of cadastral maps using different adjustment methods. Journal of the Chinese Institute of Engineers, 37(7), 869-882.
doi:10.1080/02533839.2014.888800
- [16] X. Tong, T. Sun, J. Fan, M.F. Goodchild, and W. Shi "A statistical simulation model for positional error of line features in Geographic Information Systems (GIS)" International Journal of Applied Earth Observation and Geoinformation, Vol. 21, pp. 136-148, 2013.

- [17] T. Podobnikar “Georeferencing and quality assessment of Josephine survey maps for the mountainous region in the Triglav National Park” *Acta Geodaetica et Geophysica Hungarica*, Vol. 44(1), pp. 49-66, 2009.
- [18] A., Shnайдمان, U. Shoshani, and Y. Doytsher “Genetic Algorithms: a stochastic approach for improving the current cadastre accuracies” *Survey Review*, Vol. 44(325), pp. 102-110, 2013.
- [19] R. Tajabadi, H. Hajian, S. Sahabani “The Role of Cadastre Surveying in Sustainable Development” the 1st International Conference of Sustainable Ecosystems and Development, Tehran, Iran, 2014.
- [20] M. Čeh, F. Gielsdorf, B. Trobec, M. Krivic, A. Liseč, “Improving the Positional Accuracy of Traditional Cadastral Index Maps with Membrane Adjustment in Slovenia” *International Journal of Geo-Information* Vol. 8(8):338, 2019.



Investigation of Improvement in Georeferencing of Urban Analog Maps using the Geometric Elements and Genetic Algorithm

Hani Rezayan^{1*}, Naser Pour Ahmad², Javad Sadidi³

1- Assistant Professor of RS & GIS Group, Geographical Sciences Department, Kharazmi University, Tehran, Iran

2- MSc. of RS & GIS Group, Geographical Sciences Department, Kharazmi University, Tehran, Iran

3- Assistant Professor of RS & GIS Group, Geographical Sciences Department, Kharazmi University, Tehran, Iran

Abstract

A large number of civil registries are available as analog maps that require georeferencing. Besides the quality of the analog maps and control points, the algorithm used for georeferencing also affects the accuracy of the map and the carried out geometrical calculations which indicates the need to study modern Georeferencing Methods. This requires the adoption of georeferencing optimization models and functions so that the required attention should be paid to the determination of the properties limit. Because of the impossibility of geometrical interpretation, we cannot give fixed values to the parameters of affine function for all images. Therefore, this study attempts to set optimized parameters for Affine function using genetic algorithm and considering the geometrical elements of cadastre maps including the area of the pieces of land, length, angle, and the stretch of their constituent lines. To study the proposed method, two scanned, registered cadastre maps related to a part of Tehran as input data and the control points acquired by GPS have been used. To calculate the accuracy and sensitivity of the method, comparisons like RMSE without applying geometrical elements, RMSE with the application of one of the geometrical elements (level, length, angle, stretch), and RMSE with the application of all geometrical elements have been made. The results of the study suggest that the proposed method with the average RMSE of 2.50205 m has a lower accuracy than the common method with the RMSE of 2.4175. However, in the proposed method, the error rate of geometrical elements of level, length, angle, and stretch has decreased by 40 percent compared to the common method which is a remarkable improvement.

Key words: Georeference, Analog maps, Cadastre, Genetic Algorithm, Geometric Elements.